

ВОЗНИКНОВЕНИЕ ГРАВИТАЦИОННЫХ ВОЛН ВСЛЕДСТВИЕ КОЛЛАПСА КОНФИГУРАЦИЙ ПОЛЕЙ ТЕМНОЙ ЭНЕРГИИ

*В. Джалани, А. Мишра, А. Сингх**

*Институт информационных технологий Л. Н. Миттала, Физический факультет
302031, Джайпур, Индия*

Поступила в редакцию 12 апреля 2017 г.

(Перевод с английского)

GRAVITATIONAL WAVE PRODUCTION FROM THE COLLAPSE OF DARK ENERGY FIELD CONFIGURATIONS

V. Jhalani, A. Mishra, A. Singh

Темная энергия является преобладающей компонентой плотности энергии во Вселенной. В нашей предыдущей работе было показано, что коллапс полей темной энергии приводит к формированию супермассивных черных дыр с массами, сравнимыми с массами черных дыр в центрах галактик. Это мотивирует исследования других физических следствий коллапса полей темной энергии. Поскольку считается, что первичные взаимодействия полей темной энергии с остальной Вселенной являются гравитационными, особенно интересно было бы исследовать сигналы гравитационных волн, испущенных в процессе коллапса полей темной энергии. На это нацелены текущие исследования, которым посвящена настоящая работа. Для рассмотрения эволюции взаимодействующих с гравитацией полей темной энергии и для выделения сигналов от гравитационных волн описан и использован $(3 + 1)$ -BSSN-формализм. Приведены результаты численных расчетов и описаны сигналы гравитационных волн, испущенных в процессе коллапса полей темной энергии.

DOI: 10.7868/S004445101710011X

1. ВВЕДЕНИЕ

По мере роста точности астрономических наблюдений, растет и прецизионная точность в определении космологических параметров. Это, в свою очередь, приводит к критическому пересмотру наших космологических моделей. В частности, точность определения постоянной Хаббла и независимое определение возраста Вселенной мотивировали нас критически пересмотреть простейшую космологическую модель — плоскую Вселенную с нулевой космологической постоянной [1, 2]. Эти наблюдения подтолкнули одного из авторов [3] рассмотреть идею малой ненулевой энергии вакуума, обусловленной

полями, играющими важную роль во Вселенной. За этим последовал целый ряд наблюдательных и теоретических исследований, утвердивших наше понимание того, что теперь называется темной энергией.

Поскольку в настоящее время считается, что темная энергия является преобладающей компонентой во Вселенной, становится совершенно необходимым понимание динамики темной энергии и, в частности, ее гравитационной динамики.

Прежде чем начать детальное рассмотрение гравитационной динамики полевых конфигураций темной энергии, мы предложим краткое введение в теоретико-полевые модели темной энергии.

Теоретико-полевые модели темной энергии и их связи с физикой частиц подробно обсуждались ранее в работе одного из авторов [3]. В этой работе было отмечено, что для соответствия современной космологии характеристики поля должны

* E-mail: anupamsingh.iitk@gmail.com

иметь очень малые массовые масштабы. Реалистичные модели в физике высоких энергий для легких частиц, которые могли бы иметь интересные космологические следствия, обсуждались различными авторами [4]. Было отмечено, что наиболее естественный класс моделей, в которых реализуются такие идеи — это модели масс нейтрино с псевдо-намбу-голдстоуновскими бозонами (PNGB). Причина этого заключается в том, что масштабы масс, соответствующие таким моделям, можно связать с массами нейтрино, в то время как всякая требуемая подгонка значений масс защищена от радиационных поправок симметрией, порождающей намбу-голдстоуновские моды [5].

В работе [6] исследовалось поведение seesaw модели масс нейтрино при конечной температуре; в этой модели были обнаружены фазовые переходы, приводящие к образованию топологических дефектов. Критическая температура в данной модели естественным образом связана с массами нейтрино.

В нашей предыдущей работе [7] было показано, что имеют место коллапс полей темной энергии и образование супермассивных черных дыр. Это подтолкнуло нас исследовать другие физические следствия коллапса полей темной энергии. Поскольку считается, что первичные взаимодействия полей темной энергии с остальной Вселенной являются гравитационными, особенно интересно было бы исследовать сигналы гравитационных волн, испущенных в процессе коллапса полей темной энергии. На это нацелены текущие исследования, которым посвящена настоящая работа.

В следующем разделе мы описываем формализм и эволюционные уравнения для исследования гравитационной динамики конфигураций полей темной энергии. Сначала выпишем уравнения для полей при любом общем потенциале. Это позволит сохранить общность рассуждений. Однако в свете приведенного выше обсуждения реалистичных моделей для легких масс мы быстро перейдем к более специализированным PNGB-моделям, потенциал которых имеет простой и явный вид. Таким образом, для этой цели мы будем использовать простейший PNGB-потенциал [4].

Затем мы перейдем к обсуждению численных расчетов эволюции полей темной энергии, взаимодействующих с гравитацией, и выделению сигналов гравитационных волн. В конце мы обсудим результаты численных расчетов и сигналы от гравитационных волн, образовавшихся в результате коллапса полей темной энергии.

2. ЭВОЛЮЦИЯ ПОЛЕЙ ТЕМНОЙ ЭНЕРГИИ В ПРИСУТСТВИИ ГРАВИТАЦИИ

Кратко рассмотрим еще раз изучение гравитационной динамики конфигураций полей темной энергии. Динамика полей в космологическом пространстве-времени широко обсуждалась в различных работах (см., например, [8]). Аналогично, гравитационный коллапс в контексте общей теории относительности также широко обсуждался в различных работах (см., например, [9]). Эти идеи можно совместить с тем, чтобы записать эволюционные уравнения, описывающие динамику взаимодействующих между собой конфигураций полей и пространства-времени. В этом разделе мы обсудим эволюционные уравнения и их решения. В следующих разделах мы обсудим выявление гравитационных волн при коллапсе звезды и опишем полученные результаты.

Будем использовать (3+1)-BSSN-формализм для численного исследования временной эволюции скалярных полей в присутствии гравитации. Необходимый для этого формализм был ранее описан в работе [10].

2.1. Эволюционные уравнения

Действие, описывающее самогравитирующее комплексное скалярное поле в искривленном пространстве-времени, имеет вид

$$I = \int d^4x \sqrt{-g} \left(\frac{1}{16\pi} R - \frac{1}{2} [g^{\mu\nu} \partial_\mu \Phi^* \partial_\nu \Phi + V(|\Phi|^2)] \right), \quad (1)$$

где R — скаляр Риччи, $g_{\mu\nu}$ — метрика пространства-времени, g — определитель метрики, Φ — скалярное поле, а V — его потенциал. Варьируя действие, получаем уравнения движения для всей системы. Вариации по скалярному полю приводят к уравнению Клейна – Гордона для скалярного поля:

$$\Phi^{;\mu}{}_{;\mu} - \frac{dV}{d|\Phi|^2} \Phi = 0. \quad (2)$$

Варьируя уравнение (1) по метрике $g^{\mu\nu}$, получаем уравнения Эйнштейна

$$G_{\mu\nu} = 8\pi T_{\mu\nu}.$$

Получающийся тензор энергии-импульса имеет вид

$$T_{\mu\nu} = \frac{1}{2} [\partial_\mu \Phi^* \partial_\nu \Phi + \partial_\mu \Phi \partial_\nu \Phi^*] - \frac{1}{2} g_{\mu\nu} [\Phi^{*\eta} \Phi_{,\eta} + V(|\Phi|^2)]. \quad (3)$$

Для получения численных решений удобно использовать (3+1)-разложение уравнений Эйнштейна, для которых линейный член можно записать как

$$ds^2 = -\alpha^2 dt^2 + \gamma_{ij}(dx^i + \beta^i dt)(dx^j + \beta^j dt), \quad (4)$$

где γ_{ij} — трехмерная метрика. Латинские индексы соответствуют трем пространственным координатам. Функции α и β^i в уравнении (4) представляют собой калибровочные параметры, известные как функция хода и вектор сдвига, соответственно. Определитель 3-метрики равен γ . Греческие индексы пробегает значения от 0 до 3, а латинские — от 1 до 3.

Чтобы численно исследовать эволюцию, уравнение Клейна–Гордона можно записать как систему первого порядка. Это можно сделать, разбив скалярное поле на вещественную и мнимую части:

$$\Phi = \phi_1 + i\phi_2,$$

и затем определив следующие переменные в терминах комбинаций их производных:

$$\Pi = \pi_1 + i\pi_2$$

и

$$\psi_a = \psi_{1a} + i\psi_{2a}.$$

Здесь

$$\pi_1 = \frac{\sqrt{\gamma}}{\alpha}(\partial_t \phi_1 - \beta^c \partial_c \phi_1)$$

и

$$\psi_{1a} = \partial_a \phi_1;$$

аналогично, заменив нижний индекс 1 на 2, можно получить оставшиеся необходимые нам величины. В таких обозначениях эволюционные уравнения принимают вид

$$\begin{aligned} \partial_t \phi_1 &= \frac{\alpha}{\sqrt{\gamma}} \pi_1 + \beta^j \psi_{1j}, \\ \partial_t \psi_{1a} &= \partial_a \left(\frac{\alpha}{\sqrt{\gamma}} \pi_1 + \beta^j \psi_{1j} \right), \\ \partial_t \pi_1 &= \partial_j \left(\alpha \sqrt{\gamma} \phi_1^j \right) - \frac{1}{2} \alpha \sqrt{\gamma} \frac{\partial V}{\partial |\Phi|^2} \phi_1, \end{aligned} \quad (5)$$

и можно снова заменить нижний индекс 1 на 2 и получить остающиеся необходимые нам величины. С другой стороны, геометрия пространства-времени изменяется в соответствии с BSSN-формулировкой (3+1)-разложения. Согласно этой формулировке, эволюционирующие переменные — это

$$\Psi = \ln(\gamma_{ij} \gamma^{ij})/12, \quad \tilde{\gamma}_{ij} = e^{-4\Psi} \gamma_{ij}, \quad K = \gamma^{ij} K_{ij},$$

$$\tilde{A}_{ij} = e^{-4\Psi} (K_{ij} - \gamma_{ij} K/3),$$

и свернутые символы Кристоффеля

$$\tilde{\Gamma}^i = \tilde{\gamma}^{jk} \Gamma_{jk}^i,$$

вместо ADM-переменных γ_{ij} и K_{ij} . Уравнения для BSSN-переменных описываются в работах [11, 12]:

$$\partial_t \Psi = -\frac{1}{6} \alpha K, \quad (6)$$

$$\partial_t \tilde{\gamma}_{ij} = -2\alpha \tilde{A}_{ij}, \quad (7)$$

$$\begin{aligned} \partial_t K &= -\gamma^{ij} D_i D_j \alpha + \\ &+ \alpha \left[\tilde{A}_{ij} \tilde{A}^{ij} + \frac{1}{3} K^2 + \frac{1}{2} (-T^t_t + T) \right], \end{aligned} \quad (8)$$

$$\begin{aligned} \partial_t \tilde{A}_{ij} &= e^{-4\Psi} [-D_i D_j \alpha + \alpha (R_{ij} - T_{ij})]^{TF} + \\ &+ \alpha (K \tilde{A}_{ij} - 2\tilde{A}_{il} \tilde{A}_j^l), \end{aligned} \quad (9)$$

$$\begin{aligned} \frac{\partial}{\partial t} \tilde{\Gamma}^i &= -2\tilde{A}^{ij} \alpha_{,j} + 2\alpha (\tilde{\Gamma}_{jk}^i \tilde{A}^{kj} - \\ &- \frac{2}{3} \tilde{\gamma}^{ij} K_{,j} - \tilde{\gamma}^{ij} T_{jt} + 6\tilde{A}^{ij} \phi_{,j}) - \end{aligned} \quad (10)$$

$$- \frac{\partial}{\partial x^j} (\beta^l \tilde{\gamma}^{ij}_{,l} - 2\tilde{\gamma}^{m(j} \beta^{i),m} + \frac{2}{3} \tilde{\gamma}^{ij} \beta^l_{,l}), \quad (11)$$

где D_i — ковариантная производная на пространственной гиперповерхности, T — след тензора энергии-импульса (3), а индекс «TF» обозначает бесследовую часть величины в скобках.

Приведенные выше уравнения справедливы для любого потенциала V общего вида. Разумеется, можно записать соответствующие уравнения для PNGB-полей. Все что нам требуется — это задать подходящий потенциал. В нашем случае поле является вещественным скалярным полем. Простейший потенциал, который можно записать для физически осмысленных PNGB-полей [4], имеет вид

$$V = m^4 \left[K - \cos \left(\frac{\Phi}{f} \right) \right]. \quad (12)$$

Как обсуждалось в работе [4], m имеет порядок массы нейтрино, а K — порядок единицы. Далее для определенности выберем $K = 1$. Такой потенциал для изучения динамики мы рассмотрим в следующем разделе.

3. ВЫДЕЛЕНИЕ ГРАВИТАЦИОННЫХ ВОЛН

Эволюционные уравнения, описанные выше, можно решить численно для изучения гравитационного коллапса конфигураций полей и для выделения гравитационных волн.

Чтобы получить численные решения, которые мы обсудим ниже, требуется общедоступный набор средств и методов Einstein Toolkit [13]. Программа использует метод линий для расчета временной эволюции. В частности, мы использовали итерационный метод Кранка – Николсона.

Основываясь на эволюционных уравнениях, полученных в предыдущем разделе, определим безразмерные величины так, что поле будет измеряться в единицах f , а время и пространство — в единицах f/m^2 . Плотность энергии будет измеряться в единицах m^4 .

Начальные условия для поля темной энергии имеют вид

$$\Phi(r, \theta, \phi) = \phi(r)[1 + \epsilon \operatorname{Re}(Y_{20}(\theta, \phi))], \quad (13)$$

$$\phi(r) = \pi[1 - \tanh(r - r_0)], \quad (14)$$

$$\operatorname{Re}(Y_{20}(\theta, \phi)) = \frac{1}{4} \sqrt{\frac{5}{\pi}} (3 \cos^2(\theta) - 1). \quad (15)$$

Здесь следует заметить, что r_0 является свободным параметром, отражающим диапазон возможных начальных условий, а поле Φ теперь измеряется в терминах его естественных единиц f .

Мы хотим выделить сигнал гравитационных волн, порожденных коллапсом конфигураций полей темной энергии. Это можно сделать численно, для чего мы использовали набор Einstein Toolkit.

Здесь мы получим калибровочно-инвариантные нечетные и четные возмущения. Подготовительный материал для этого можно найти в работах [14–16].

Основное допущение состоит в том, что вдали от источника в волновой зоне пространство-время или, более конкретно, сигнал гравитационной волны, можно описывать в терминах линейных возмущений вблизи шварцшильдовской фоновой метрики. На основании знаний о коэффициентах теории возмущений в рамках численных расчетов легко получить форму волны с помощью калибровочно-инвариантных (или аксиальных) токовых мультиполей с отрицательной четностью $Q_{\ell m}^\times$ и (или полярных) массовых мультиполей с положительной четностью $Q_{\ell m}^+$ возмущений метрики. Тогда проблема будет заключаться в том, чтобы найти коэффициенты возмущения, связывающие численно полученное пространство-время в волновой зоне с возмущенным шварцшильдовским фоном. Особая методика была исходно развита в работах [17] и [19], соответственно, для исследования гравитационного излучения в терминах нечетных и четных мультиполей вдали от источника. Позднее в работе [20] был предложен калибровочно-инвариантный подход (см. обзор [21]).

На больших расстояниях от источника гравитационные волны можно рассматривать как линейное возмущение на фиксированном фоне, и мы можем записать

$$g_{\mu\nu} = g_{\mu\nu}^0 + h_{\mu\nu}, \quad (16)$$

где $g_{\mu\nu}^0$ — фиксированная фоновая метрика, а $h_{\mu\nu}$ — ее линейное возмущение. Обычно предполагается, что фоновая метрика $g_{\mu\nu}^0$ имеет вид метрики Минковского или Шварцшильда, и ее можно записать в виде

$$ds^2 = -N dt^2 + A dr^2 + r^2(d\theta^2 + \sin^2 \theta d\phi^2). \quad (17)$$

Можно разложить пространство-время на временнo-подобную, радиальную и угловую части, которые в свою очередь помогут нам разложить возмущение метрики $h_{\mu\nu}$ на нечетные и четные мультиполи, т. е. можно записать

$$h_{\mu\nu} = \sum_{\ell m} \left[(h_{\mu\nu}^{\ell m})^{(o)} + (h_{\mu\nu}^{\ell m})^{(e)} \right]. \quad (18)$$

Их поведение определяет поведение мультиполей с отрицательной и положительной четностью при преобразовании четности

$$(\theta, \phi) \rightarrow (\pi - \theta, \pi + \phi).$$

Нечетные мультиполи преобразуются как $(-1)^{\ell+1}$, а четные мультиполи — как $(-1)^\ell$. Всегда можно разложить эти компоненты по их векторным и тензорным сферическим гармоникам (см., например, [22]).

Используя гамильтониан возмущенных уравнений Эйнштейна в ADM-виде [23], можно вывести вариационные принципы для возмущений с отрицательной и положительной четностью [20], с целью получить уравнения движения, аналогичные волновым уравнениям с рассеивающим потенциалом.

Решения этих волновых уравнений, образованные возмущениями нечетно-четной четности, даются мастер-функциями Редже – Уиллера – Монкрифа и Церилли – Монкрифа, соответственно. Функция Редже – Уилера – Монкрифа с отрицательной четностью имеет вид

$$Q_{\ell m}^\times \equiv \sqrt{\frac{2(\ell+1)!}{(\ell-2)!}} \frac{1}{r} \left(1 - \frac{2M}{r}\right) \times \left[(h_1^{\ell m})^{(o)} + \frac{r^2}{2} \partial_r \left(\frac{(h_2^{\ell m})^{(o)}}{r^2} \right) \right], \quad (19)$$

а функция Церилли – Монкрифа с положительной четностью имеет вид

$$Q_{\ell m}^+ \equiv \sqrt{\frac{2(\ell+1)!}{(\ell-2)!}} \frac{r q_1^{\ell m}}{\Lambda [r(\Lambda - 2) + 6M]}, \quad (20)$$

где

$$\Lambda = \ell(\ell + 1)$$

и

$$q_1^{\ell m} \equiv r\Lambda\kappa_1^{\ell m} + \frac{4r}{A^2}\kappa_2^{\ell m}, \quad (21)$$

при этом

$$\kappa_1^{\ell m} \equiv K^{\ell m} + \frac{1}{A} \left(r\partial_r G^{\ell m} - \frac{2}{r}(h_1^{\ell m})^{(e)} \right), \quad (22)$$

$$\kappa_2^{\ell m} \equiv \frac{1}{2} \left[AH_2^{\ell m} - \sqrt{A}\partial_r \left(r\sqrt{A}K^{\ell m} \right) \right]. \quad (23)$$

Эти мастер-функции полностью зависят от сферической части метрики, задаваемой коэффициентами N и A , а коэффициенты возмущения для отдельных компонент метрики возмущения $(h_1^{\ell m})^{(o)}$, $(h_2^{\ell m})^{(o)}$, $(h_1^{\ell m})^{(e)}$, $(h_2^{\ell m})^{(e)}$, $H_0^{\ell m}$, $H_1^{\ell m}$, $H_2^{\ell m}$, $K^{\ell m}$ и $G^{\ell m}$ можно получить из любого численного пространства-времени посредством удаления фона Шварцшильда или Минковского [24]. Например, коэффициент $H_2^{\ell m}$ можно получить следующим образом:

$$H_2^{\ell m} = \frac{1}{A} \int (g_{rr} - A)Y_{\ell m} d\Omega, \quad (24)$$

где g_{rr} — радиальная компонента численной метрики, представленная в базисе сферических полярных координат, $Y_{\ell m}$ — сферические гармоники, а $d\Omega$ — линейный элемент поверхности S^2 выделяемой сферы. Коэффициент A представляет собой сферическую часть фоновой метрики и может быть получен проекцией компоненты численной метрики g_{rr} на Y_{00} над выделяемой сферой:

$$A = \frac{1}{4\pi} \int g_{rr} d\Omega. \quad (25)$$

Для остальных коэффициентов возмущения справедливы аналогичные выражения.

Мастер-функции для случаев отрицательной и положительной четности (19) и (20), могут быть напрямую связаны с гравитационно-волновой деформацией и имеют вид

$$h_+ - ih_\times = \frac{1}{\sqrt{2}r} \sum_{\ell, m} \left(Q_{\ell m}^+ - i \int_{-\infty}^t Q_{\ell m}^\times(t') dt' \right) \times \times {}_{-2}Y^{\ell m}(\theta, \phi) + \mathcal{O}\left(\frac{1}{r^2}\right), \quad (26)$$

где ${}_{-2}Y^{\ell m}(\theta, \phi)$ — сферические гармоники со спиновым весом $s = -2$.

4. РЕЗУЛЬТАТЫ И ЗАКЛЮЧЕНИЕ

Приведем результаты по трехмерным численным расчетам полей темной энергии, коллапсирующих с образованием гравитационных волн. Мы использовали (3+1)-BSSN-формализм для численного расчета эволюции. Эволюционные уравнения, которые мы описывали ранее, были решены численно с использованием общедоступного набора средств и методов Einstein Toolkit [13]. В частности, мы получили сигналы гравитационных волн, испущенных в результате коллапса конфигураций поля темной энергии. Таким образом, в результате мы получили нечетные и четные мультиполи $Q_{\ell m}$ для гравитационных волн. Результаты представлены в виде графиков. Заметим, в частности, что временной период полученных гравитационных волн сравним с временным масштабом гравитационного коллапса.

Временные зависимости $Q_{\ell m}$ для различных значений параметров представлены на рис. 1–4. Следует заметить, что время измеряется в единицах f/m^2 , что представляет собой фундаментальный временной масштаб динамики, определяемый эволюционными уравнениями.

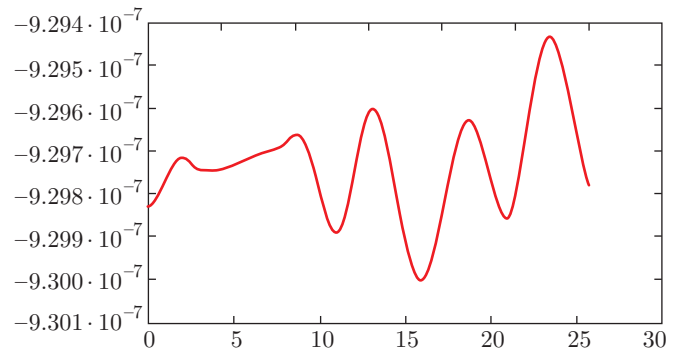


Рис. 1. Четные Q_{lm} при $l = 2, m = 0, \epsilon = 0.0001$

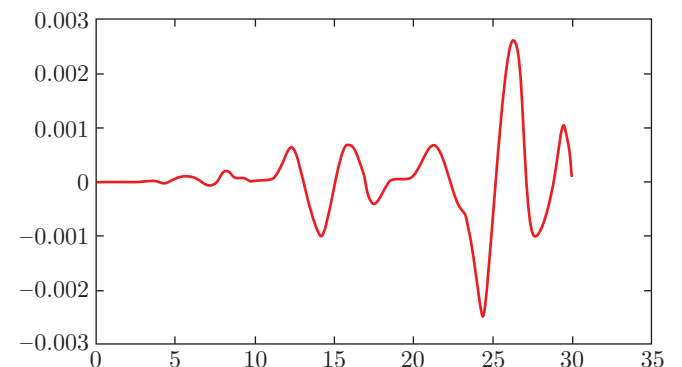
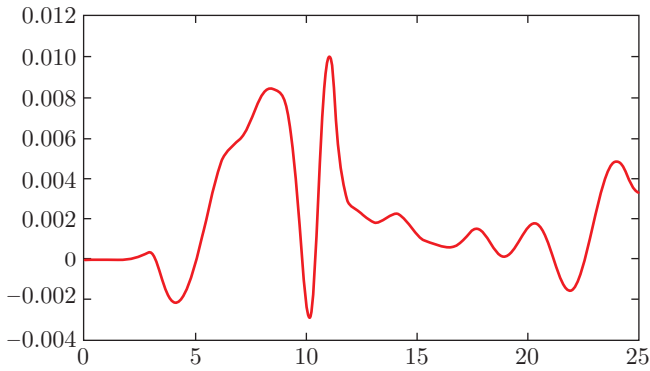
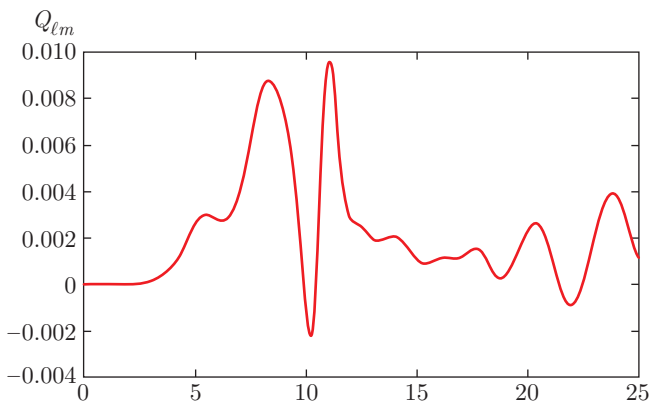


Рис. 2. Четные Q_{lm} при $l = 4, m = 0, \epsilon = 0.0001$

Рис. 3. Четные Q_{lm} при $l = 2$, $m = 0$, $\epsilon = 0.001$ Рис. 4. Четные Q_{lm} при $l = 2$, $m = 0$, $\epsilon = 0.0001$

Для перевода в физические единицы заметим следующее.

Масштаб f представляет собой высокоэнергетический масштаб нарушения симметрии в PNGB-моделях. В see-saw модели масс нейтрино [3] это соответствует тяжелому масштабу нарушения симметрии. В то время как f имеет некоторый интервал возможных значений, типичное значение f в see-saw модели масс нейтрино $f \sim 10^{13}$ ГэВ. Типичное значение $m \sim 10^{-3}$ эВ. Следует также отметить, что до сих пор в физике частиц и космологии мы работали с единицами, для которых $\hbar = c = k = 1$. От этих единиц следует перейти к более привычным с использованием стандартных преобразующих множителей [8]. Таким образом, $1 \text{ ГэВ}^{-1} = 1.98 \cdot 10^{-14}$ см и $1 \text{ ГэВ}^{-1} = 6.58 \cdot 10^{-25}$ с.

Используя эти преобразующие множители, можно видеть, что фундаментальный временной масштаб динамики, соответствующий f/m^2 , равен $2 \cdot 10^5$ лет.

Заметим, в частности, что временной период полученных гравитационных волн сравним с фундаментальным временным масштабом динамики.

Работа выполнена при частичной финансовой поддержке в рамках исследовательского гранта Института информационных технологий Л. Н. Миттала. Авторы благодарят Х. Харквола за полезные обсуждения и сотрудничество на ранних этапах выполнения работы.

ЛИТЕРАТУРА

1. M. J. Pierce, D. L. Welch, R. D. McClure, S. van den Bergh, R. Racine, and P. B. Stetson, *Nature* **371**, 385 (1994).
2. W. L. Freedman et al., *Nature* **371**, 757 (1994).
3. A. Singh, *Phys. Rev. D* **52**, 6700 (1995).
4. A. K. Gupta, C. T. Hill, R. Holman, and E. W. Kolb, *Phys. Rev. D* **45**, 441 (1992).
5. G. 'tHooft, *Naturalness, Chiral Symmetry, and Spontaneous Chiral Symmetry Breaking*, in *Recent Developments in Gauge Theories*, ed. by G. 't Hooft, Plenum Press, New York (1980).
6. R. Holman and A. Singh, *Phys. Rev. D* **47**, 421 (1993).
7. V. Jhalani, H. Kharkwal, and A. Singh, *JETP* **123**, 827 (2016).
8. E. W. Kolb and M. S. Turner, *The Early Universe*, Addison-Wesley Pub. Co. (1990).
9. S. Weinberg, *Gravitation and Cosmology*, John Wiley & Sons, Inc. (1972).
10. J. Balakrishna et al., *Class. Quant. Grav.* **23**, 2631 (2006).
11. M. Alcubierre, B. Breugmann, T. Dramlitsch, J. A. Font, P. Papadopoulos, E. Seidel, N. Stergioulas, and R. Takahashi, *Phys. Rev. D* **15**, 124011 (2000).
12. T. W. Baumgarte and S. L. Shapiro, *Phys. Rev. D* **59**, 024007 (1998); M. Shibata and T. Nakamura, *Phys. Rev. D* **52**, 5428 (1995).
13. EINSTEIN TOOLKIT: A Community Toolkit for Numerical Relativity, <http://www.einsteintoolkit.org>.
14. K. Camarda and E. Swidel, *Phys. Rev. D* **59**, 064019 (1999).
15. L. Rezzolla et al., *Phys. Rev. D* **59**, 064001 (1999).
16. J. Baker et al., *Phys. Rev. D* **62**, 127701 (2000).
17. T. Regge and J. Wheeler, *Phys. Rev.* **108**, 1063 (1957).

18. F. J. Zerilli, Phys. Rev. Lett. **24**, 737 (1970).
19. F. J. Zerilli, J. Math. Phys. **11**, 2203 (1970).
20. V. Moncrief, Annals of Physics **88**, 323 (1974).
21. A. Nagar and L. Rezzolla, Class. Quantum Grav. **22**, R167 (2005); erratum-ibid. **23**, 4297 (2006).
22. K. Thorne, Rev. Mod. Phys. **52**, 285 (1980).
23. R. Arnowitt, S. Deser, and C. W. Misner, General Relativity and Gravitation, **40**, 1997 (2008).
24. K. Camarda and E. Seidel, Phys. Rev. D **59**, 064019 (1999).